

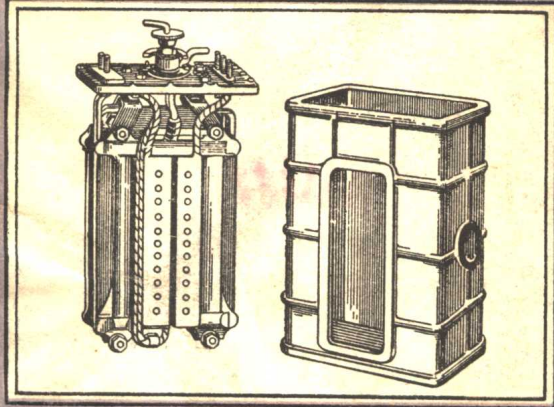


高頻热处理丛书

第 7 册

高頻加热用变压器

〔苏联〕BC. B. 伏洛格金 A. E. 斯鲁霍茨基 著



635
37-7
1

上海科学技术出版社

高頻熱處理丛书

第 7 冊

高頻加熱用變壓器

〔苏联〕BC. B. 伏洛格金 A. E. 斯魯霍茨基 著

小 冰 譯

上海科學技術出版社

內 容 提 要

本丛书原版第一版于 1954 年出版，曾由本社翻譯出版。1957 年原书有了第二版，內容有相当大的修改，若干册书名亦有更改，为此根据新版本重譯重排，陸續出版。

本书为高頻热处理丛书的第 7 册，专门叙述高頻加热用鐵芯磁路变压器、盘形綫圈变压器、空心变压器及自耦变压器等的結構元件和近似計算，也引述了倍頻器的綫路和原理，可供广大高頻热处理工人和技术人員閱讀参考。

ТРАНСФОРМАТОРЫ ДЛЯ
ВЫСОКОЧАСТОТНОГО НАГРЕВА

ВС. В. Вологдин

А. Е. Слухоцкий

Машгиз · 1957 年第二版

高頻热处理丛书

第 7 册

高 频 加 热 用 变 压 器

小 冰 譯

上海科学技术出版社出版 (上海瑞金二路 450 号)

上海市书刊出版业营业許可证出 093 号

上海市印刷三厂印刷 新华书店上海发行所发行

开本 787×1092 1/32 印张 2 26/32 排版字数 61,000

1962 年 10 月第 1 版 1965 年 10 月第 2 次印刷

印数 2,201—6,900

统一书号 15119 · 1686 定价(科四) 0.32 元

目 录

緒論	1
第一章 变压器和倍頻器概述	4
1. 变压器在感应装置中的工作	4
2. 倍頻器的工作	7
3. 增高頻变压器和倍頻器的磁导体	11
4. 变压器和倍頻器的線圈	27
第二章 感应加热用变压器类型	38
5. 变压器类型的选择	38
6. 增高頻壳式变压器	42
7. 盘形線圈变压器	44
8. 芯式变压器	45
9. 自耦变压器	47
10. 增高頻氧磁体铁芯变压器	49
11. 增高頻环形磁路变压器	49
12. 功率 100 千瓦頻率自 2500 至 7500 赫芝的頻率三倍器	51
13. 空心变压器	53
第三章 增高頻变压器近似計算	58
14. 計算的原始数据	58
15. 铁芯截面尺寸的計算	59
16. 铁芯的热力計算和軟鐵的計算	61
17. 变压器線圈的計算	66
18. 磁路的尺寸、重量及铁損	71
19. 电压的計算。变压器的功率和效率	73
20. 磁路冷却系統的計算	75

21. 線圈冷却系統的計算.....	77
第四章 空心变压器的电量近似計算.....	80
22. 計算的原始数据.....	81
23. 变压器結構元件的初步計算.....	81
24. 空心变压器線圈的电参数及其在工作状态下的数据.....	82
参考文献.....	87

緒論

产生磁场的加热零件就置于其内的感应器，供给感应器电流的高频或增高频发生器，使发生器参数与感应器参数相匹配的电容器组和变压器，紧固零件、感应器、变压器及一些辅助设备（包括接触器、继电器、检查和控制加热过程的测量仪表等）用的机床或装置，都是利用高频交变磁场的能量对某种金属零件进行淬火、锻造、钎焊、焊接、堆焊的感应加热装置中不可缺少的元件（图1）。

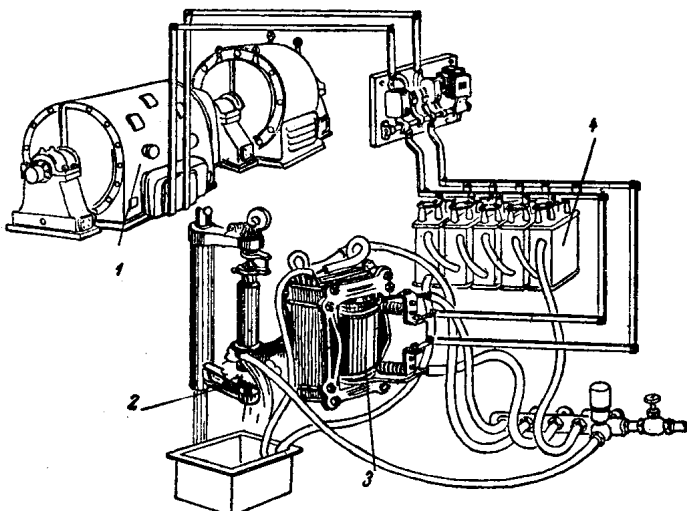


图1 感应加热装置

1—机械式发电机；2—感应器；3—变压器；4—电容器組

为了将所需的能量在很短的给定时间内输给置于感应器

場內的加热零件，必須有足够的电流通过感应器。零件的几何尺寸和形状、所需的加热速度和透热层深度，决定着感应器的結構、感应器与零件的相互位置、电流频率、加热方法（同时加热抑或順序連續加热）以及所需的功率^①。

加到感应器上的电压，取决于过程的物理現象及所采用的加热工艺，也就是在每种具体情况下电压的大小有一定的範圍（这範圍一般都不大）。在 500~15000 赫芝的声頻範圍內，感应器上每匝的电压約为 15~100 伏。在 200000~1000000 赫芝的射頻範圍內，感应器上每匝的电压为 50~400 伏^②。

現代机械式高頻发电机的电压一般为 375~1500 伏。射頻电子管振蕩器的电压，由于电子管工作过程的特点，可达数千伏。

功率为数十或数百千瓦的机械式高頻发电机，若設計成直接用作感应器的电源（即低压电源）是不合理的。此外，在低压时从发生器傳递能量到負荷用的导綫上的損耗很大，采用低压的电容器組由于笨重昂貴而不适宜，并且低压时机械式发电机和整个高頻装置的效率将很低。

在利用集中供电的装置中，各个加热部位的参数相差可能很大，所以这些缺点就特別明显。

采用变压器作为中間环节，就可将发生器的高压变为感应器所需的低压。此时，在变压器內不免有若干能量損失，但是如能遵循变压器設計和制造的一定原則，就可使这项能量損失减小到只占高頻装置所用总能量的微小部分。

① 參看 A. D. 杰米切夫和 C. B. 沙施金著的“高頻淬火”，本丛书第 3 冊；

② 參看 A. E. 斯普雷茨基著的“淬火感应器”，本丛书第 6 冊。

有一些感应装置，也可不装变压器，例如熔炼金属用的感应炉和钢坯锻压前加热用的装置。在这些装置中，感应器有很多匝圈。这种感应器上的电压足够大，因而发生器所发出的电流，可直接输给感应器。

目前，特别在大型锻造车间，对感应加热部位采取集中供给高频电流的方法感到很大兴趣。

在这种情况下，用于加热直径超过30毫米的毛坯的发生器，大部分具有较低的频率（2500赫兹或更低），而小部分用于加热较小直径毛坯的发生器，具有较高的频率（8000~10000赫兹）。

装备了两组发生器，照管起来就复杂，需要两套汇流系统，并降低了整个系统在负荷分配方面的机动性。后者还促使发生器的利用率减小，从而导致平均效率降低。

在此情况下最好采用静电磁倍频器，它的外形尺寸很小，能装在相应加热部位的里面。

包括一次电路电容器组的损失在内，倍频器的效率为80~85%，所以完全适合于在类似系统中使用，因为频率在8000~10000赫兹时，发生器和汇流条的效率要比频率在2500赫兹时低，而采用两组发生器的利用率和平均效率要比采用一组发生器时低。

如果按较低频率所需的功率应超过按较高频率所需的功率4倍以上，则采用倍频器最为合适。

在单独供电的高频装置中，利用倍频器有时也很适宜。例如，频率2500赫兹的发生器在加热直径超过30毫米的零件时，可保证相当高的效率，而这种发生器在配备三倍频率的倍频器后可保证处理直径15~20毫米的零件。同时应该指出，由于需要非正弦电流的倍频器，发生器可以采用70~80%

的額定功率。

目前，B. II. 伏洛格金教授命名的高頻电流科学研究所已設計成功率100千瓦、频率由2500至7500赫芝的倍頻器，經過长期試驗，證明完全有效。下面將闡明这种倍頻器的构造及其工作原理。

倍頻器的計算很复杂，所以在此不作介紹。

第一章 变压器和倍頻器概述

1. 变压器在感应装置中的工作

声頻变压器与电流频率50赫芝的变压器一样，结构的主要部分是在电气上彼此无关的两个綫圈和一个磁路。綫圈分为初級綫圈和次級綫圈。初級綫圈与电源相連，次級綫圈与負荷相連。

如果需要降低电源的电压，初級綫圈的匝数应比次級綫圈的匝数多，反之則少。

来自电源的交流电，通过初級綫圈导綫的各匝，在綫圈周围产生閉合的交变磁通。当此磁通截割次級綫圈，便在其匝圈内感应出电动势。

将次級綫圈接上負荷，电路中就有电流。此电流在次級綫圈以及与之邻近的初級綫圈的周围形成交变磁通，其方向和大小都与初級綫圈的电流所造成的磁通不同。两个磁通相互作用，便产生合成磁通，这就叫做变压器的主磁通，并在两个綫圈内感应出主电动势。

但是，只有一部分合成磁通能完全环绕两个綫圈。其余的磁通(一般很小)只能环绕一个綫圈或一个綫圈的一部分。

这些磁通不能促使能量由初級綫圈傳到次級綫圈，故称之为漏磁通。甚至在变压器接于純有功負荷时，漏磁通也会产生感抗。通常漏磁很大的变压器效率很低。

在制造变压器时，主要應該注意减少磁通泄漏，借以使变压器获得尽可能高的效率。

由于高頻技术的特点，在感应装置中必須采用专门的变压器。設計此种变压器时，应当考虑变压器的工作条件，以及由于高頻电流所固有的一系列物理現象而产生的要求。

大家知道，高頻电流通过导体时，沿导体截面上的电流密度分布是不均匀的。随着頻率的增高，电流就会由于所謂趋肤效应而趋向导体的表面层。

在卷成环状或螺旋状的导綫內，高頻电流不是均匀地分布在导綫的整个表面层上，而是主要集中在內側。这种現象叫做环效应。

如果高頻电流沿着两根彼此靠得很近的导綫流过，电流的方向相反（例如在来回两綫中往往如此），則在两导綫彼此相对的一側电流密度最大。这种現象叫做邻近效应^①。

如果把一块金属放在高頻磁场內，則金属将被本身所感应出的电流加热。磁性金属的这种发热現象尤为强烈。

上述各种現象在高頻或增高頻变压器中也都存在。这些現象决定了高頻变压器的結構特点。在許多情况下，工作状态也是高頻变压器的一个特性。

用同时加热法加热金属零件以进行淬火、钎焊和堆焊时，加热时间是不长的，一般为 5~20 秒。

① 关于趋肤效应、环效应和邻近效应的詳細解釋，可參看 H. II. 格魯哈諾夫著的“高頻加热的物理基础”，本丛书第 2 册。

零件的冷却、取下和装放新的零件要花费较多的时间。因此，变压器承受负荷的时间仅为每个工作循环的一部分。

用顺序连续法加热很大很重的零件时，一个循环中工作部分所占的时间就增加，但同时非工作部分的时间也延长，因为更换很大很重零件所需的时间自然要多一些。自动淬火机床则例外，因为在这种机床上加热过程可以連續进行。

这种在工作中間有或长或短停歇时间的周期性负荷，称为间歇运转状态。

在类似上述的工作状态下，使用变压器时容許过载，但在連續工作状态下却不容許。因为在停歇时间内，由于各个结构元件能量損耗而产生的余热，可由相应的冷却系統完全带走。

由于材料能够承受这种热量过载，就有可能縮小设备的尺寸和节约材料的消耗，并使变压器具有更大的通用性。

还應該考慮变压器的某些特殊工作条件，这些条件虽然对结构的影响不大，但却使对高頻变压器的要求愈加复杂化。这就是变压器周围空气的湿度，由于淬火用水的不断蒸发而增加，并有可能水分直接进入变压器。

在工作过程中，变压器可能受到机械冲击的作用，这种作用是由于移动淬火机床上固装变压器的那一部分及由于电动力而引起的。当功率很大而頻率較低时，电动力的影响特別显著。

变压器一般是装在加热机床的内部。这就更加要求縮小变压器的尺寸和減輕其重量。变压器的效率应尽可能提高，否则就必然过多地消耗电能，使达到每年数千千瓦小时。

只有当变压器完全符合它的运行条件时，才能获得最大效率。

在不同功率的高頻裝置中，若工作狀態不同，頻率相差2倍以上，則利用同一個變壓器是不適宜的，雖然這在實踐中常常見到。若變換系數不同，則利用同一磁路在大多數情況下也認為是不適宜的。所有這些，都將會降低高頻裝置的使用指標，破壞經濟合理的工作過程。但是，由於實際上不可能按各自要求的數據製造大量各式品種的變壓器，所以近幾年來開始製造某種程度上通用的變壓器。這種變壓器有可變數目的初級線圈和次級線圈，適用於範圍相當廣的頻率、功率、變換系數和負荷狀態。

2. 倍頻器的工作

倍頻原理是以利用帶飽和鐵芯的有感電路為基礎，這一原理早已為人們所熟知。

還在幾十年以前，由國內B. II. 伏洛格金教授領導設計的以及由國外設計的各種結構的倍頻器，在機械式發電機作電源的無線電台上已得到了有效的應用。

但是，感應加熱裝置中的倍頻器的要求，與無線電台上用的倍頻器具有很大區別。在後一種情況下，倍頻器可以給出整個頻譜，從該頻譜中利用調諧電路分離出所需的諧波。此時，倍頻器的負荷在所有參數嚴格穩定下應具有很高的質量因素^①。

在感應加熱裝置中，加熱電路的質量因素是不大的，尤其重要的是它的一些參數在加熱過程中改變很大。因而不可能在整個工作循環期間把電路調到諧振。在此情況下只能採用

① 關於電路的質量因素，可參看 A. C. 瓦西里也夫著的“高頻加熱用電子管振盪器”，本叢書第9冊。

这样系統的倍頻器，即靠其本身釋出所需頻率的諧波。

此時，倍頻器應該是單相的，因為增高頻發生器和負荷通常也是單相的。

下面介紹的倍頻器，在頗大程度上符合這些要求。

獲得三倍頻率的倍頻器以下簡稱為“頻率三倍器”，它是由兩台芯式變壓器組成。其中一台變壓器的磁路在磁飽和狀態下工作 ($B=1.9\sim2.1$ 伏秒/米²)，並應尽可能沒有空氣隙。另一台變壓器的磁路遠沒有飽和 ($B=0.8\sim1.0$ 伏秒/米²)，

具有可調節的空氣隙。

兩台變壓器接在電源上的初級線圈是串聯和匹配的（終端和起端相接），而接有負荷的次級線圈是終端和終端對着串聯（圖2）；或者相反，初級線圈對着串聯，而使次級線圈匹配。

第一台飽和式變壓器的電感是可變的，隨着通過初級線圈的電流增加而減小。

第二台非飽和式變壓器的電

感可近似地認為恆定的。兩個串聯變壓器的總電感隨着電流的增加而下降。因此，在加於頻率三倍器初級一側為正弦電壓時，一次電流曲線將具有非正弦的尖頂形狀。

圖3示出飽和式變壓器(a)和非飽和式變壓器(b)中磁通與電流(θ)、每台變壓器中磁通形狀及電壓的關係。

飽和式變壓器中的磁通具有壓扁形狀，而非飽和式變壓器中的磁通與電流一樣，是尖頂形狀的（圖3a和b）。由這些

磁通在变压器线圈内感应出的电动势，示于图 3e 和 π 。这些电压包含频率由电源规定的一次谐波和其中三次谐波为最大值的高次谐波。图 3e 和 π 是基波和三次谐波。由图可见，电动势的基波在两台变压器内是同相的，而三次谐波移过 180° 。因此，把初级线圈串联匹配，在一次电路中除去三次谐波，便不至于使频率三倍器输入端的电压曲线形状失真。若将次级线圈对接，几乎可以完全消除一次谐波，而使电压的三次谐波相加（图 3g）。结果，在输出端得到频率几乎增至 3 倍的正弦电压。

完全补偿初级一侧的三次谐波和次级一侧的基波是办不到的。此外，处于不同相位关系的高次谐波大大弱化。

结果，三倍频率的

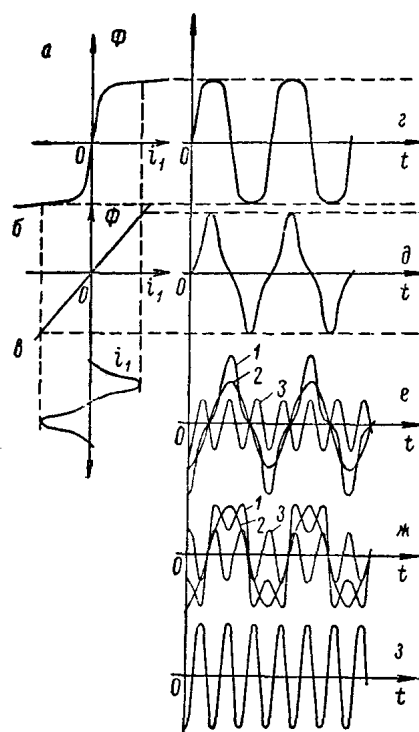


图 3 频率三倍器中磁通、电流和电压的形状

a—饱和式变压器中磁通与一次电流的关系；b—非饱和式变压器中磁通与一次电流的关系；c—倍频器的一次电流； i —饱和式变压器铁芯中的磁通； ∂ —非饱和式变压器铁芯中的磁通； e —饱和式变压器线圈内感应的电动势； π —非饱和式变压器线圈内感应的电动势； π —频率三倍器输出端上三倍频率的电压
1, 2, 3—基本曲线、基波和三次谐波

一次电压和二次电压不完全是正弦的。但与正弦曲线偏离不大，特别因为一次电路和二次电路是用电容器调谐的。

为了更充分地利用饱和式变压器钢磁化特性曲线的曲度，变压器的磁导体应装配成带最小的空气隙。

相反地，若利用非饱和式变压器磁导体内的间隙，则磁化曲线接近于直线。间隙的总和为5~8毫米，调节间隙的大小，频率三倍器可得到最佳的参数。

此外，变换初级线圈的匝数，可在某个范围内改变频率三倍器的参数。

在相同的负荷下，频率三倍器的工作状态首先是输出功率，决定于变压器磁导体内的感应强度，也即决定于输入至频率三倍器的电压。

在频率三倍器单独供电的情况下，建立固定的电压并不困难。但是，采取集中供电系统时从干线接出若干支线到各部位上，所以在发生器电压不变下接通和断开另一些部位，都会使其余部位上的电压改变，而不能保持恒定。因此，频率三倍器所输出的功率改变：电压降低时功率显著减小，电压升高时功率显著增大。此时，一次电路内所包含的谐波也改变，因而破坏了照例调至电容反应的对高次谐波来说电阻很小的相邻部位的工作。

如将调至三次谐波的滤波器接入频率三倍器的一次电路内，则可在母线电压变动范围为580~730伏时保证频率三倍器和整个系统的工作都很稳定（图4）。滤波器尺寸很小，所以与频率三倍器一样，可以装在加热部位的里面。

频率三倍器输入端的功率因数很小($\cos \varphi_1 \approx 0.2 \sim 0.3$)，因而要求在其初级端子上接一电容器组，此电容器组的无功功率约为发生器所需的有效功率的5倍。

二次电路即加热电路，通常调至不大的电容反应 ($\cos \varphi_2 \approx 0.9 \sim 0.95$)。

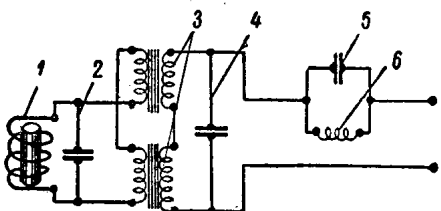


图4 频率三倍器接入调至三次谐波的滤波器的线路图

1—感应器及加热零件；2—加热电路的电容器組；3—频率三倍器的变压器；4—一次电路的电容器組；5—調至三倍频率的滤波器的电容器組；6—滤波器的电感

3. 增高頻变压器和倍頻器的磁导体

频率为 500~10000 赫芝的增高頻变压器与频率为 50 赫芝的装置上所用的普通电源变压器一样，最好制成带硅鋼片磁导体的。

射频变压器最适于采用氧磁体制的磁导体。

置于交变磁场内的钢片，由于反复磁化的损耗以及内部感应的电流而剧烈地发热。此时，单位体积内耗散的功率大致与频率的平方成比例地增加。钢片的厚度减小，铁损即随之降低，但当硅钢片中的含硅量比较高 (4~4.8%) 时，显得非常脆，要轧成厚度小于 0.1 毫米的钢片，在生产上遇到很大困难。

此外，在增高頻变压器中采用非常薄的钢片制造磁导体，会破坏其冷却条件和减小占空系数。

上述这些情况，在目前限制了可以采用硅钢片磁导体的声频范围。

目前工业上已生产了若干种硅钢片，表1所列的数种可用于制造高频装置的磁路。

表 1

旧的名称	按 ГОСТ 802-54 的名称	钢片的标准厚度(毫米)	钢片的标准尺寸(毫米)	备注
84A	941	0.35~0.5	750×1500 1000×2000	
34AA	942	0.35~0.5	750×1500 1000×2000	
ВЧ-2	944	0.1; 0.15; 0.2; 0.35	700×1400 700×720	厚度0.2毫米的钢片尺寸

942钢特别944钢，在相同的工作条件下可以保证比941钢的损耗系数小，因此前两种钢主要在高频时采用。

如果变压器内磁通的方向与钢片平面的方向不一致，则在高频和增高频下即使钢片的厚度非常薄，也能在磁导体的硅钢片内感应出相当大的电流。因此，最好用很细的钢丝来代替钢片。可是制造这种钢丝也很困难，因为硅钢非常脆。

增高频变压器的磁导体是制成壳式(图5a)或芯式(图5b)的。在壳式变压器中，绕在铁芯上的线圈是被轭铁包围

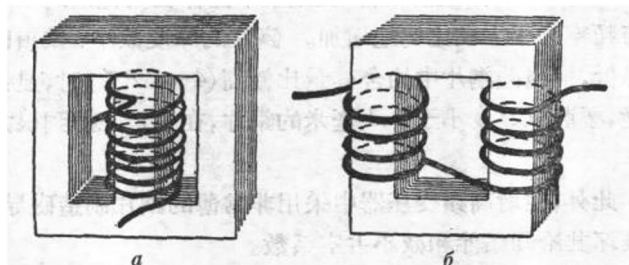


图5 变压器的磁导体

a—壳式；b—芯式